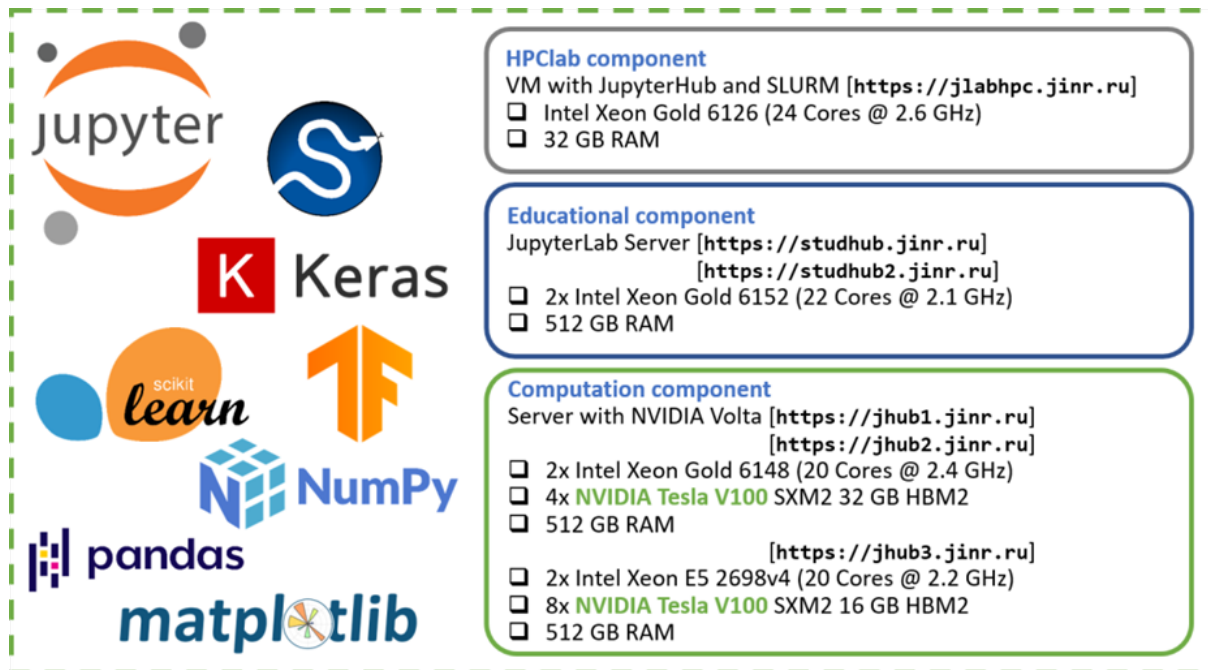




Практическое занятие Инструментарий на основе Python-библиотек и экосистемы Jupyter для решения научных и прикладных задач

Башишин М.В., Бежанян Т.Ж., Бутенко Ю.А., Воронцов А.С., Зуев М.И., Киракосян М.Х.,
Матвеев М.А., Нечаевский А.В., Пряхина Д.И., Рахмонов И.Р., Рахмонова А.Р., Стрельцова О.И.

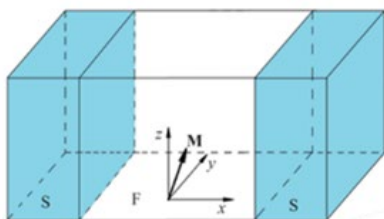
Экосистема ML/DL/HPC гетерогенной платформы HybriLIT [<http://hlit.jinr.ru>]



The diagram shows the HybriLIT ecosystem components, including logos for Jupyter, Keras, scikit-learn, TensorFlow, NumPy, pandas, and matplotlib. It is divided into three main sections:

- HPClab component**: VM with JupyterHub and SLURM [<https://jlabhpc.jinr.ru>]
 Intel Xeon Gold 6126 (24 Cores @ 2.6 GHz)
 32 GB RAM
- Educational component**: JupyterLab Server [<https://studhub.jinr.ru>] [<https://studhub2.jinr.ru>]
 2x Intel Xeon Gold 6152 (22 Cores @ 2.1 GHz)
 512 GB RAM
- Computation component**: Server with NVIDIA Volta [<https://jhub1.jinr.ru>] [<https://jhub2.jinr.ru>]
 2x Intel Xeon Gold 6148 (20 Cores @ 2.4 GHz)
 4x NVIDIA Tesla V100 SXM2 32 GB HBM2
 512 GB RAM
 2x Intel Xeon E5 2698v4 (20 Cores @ 2.2 GHz)
 8x NVIDIA Tesla V100 SXM2 16 GB HBM2
 512 GB RAM [<https://jhub3.jinr.ru>]

План занятия



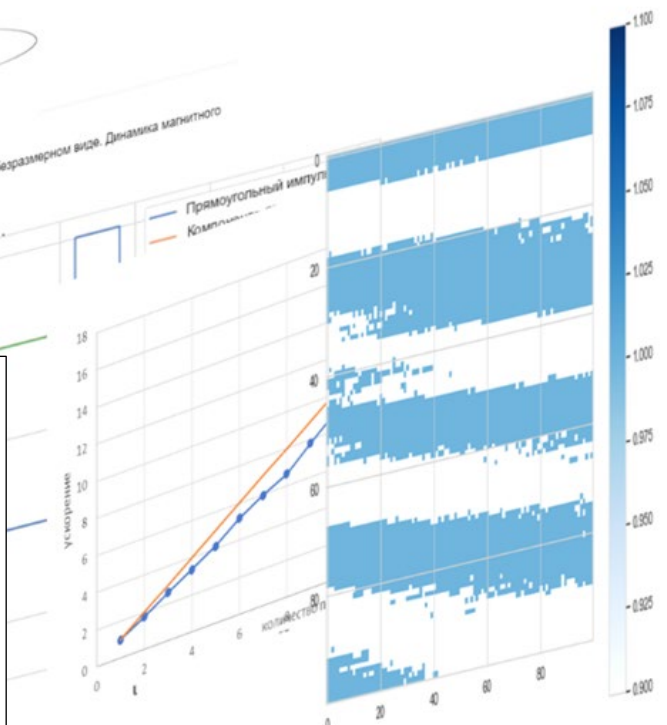
Математическая постановка задачи

Основные уравнение представлены в работе [1]. Ниже приведена задача Коши для системы уравнений в безразмерном виде. Динамика магнитного момента M рассматриваемой системы описывается уравнением Ландау-Лифшица-Гильберта:

$$\frac{dm_x}{dt} = -\frac{1}{1 + M^2 \alpha^2} \{m_y H_z - m_z H_y + \alpha m_x (M \cdot H) - H_x\},$$

$$\frac{dm_y}{dt} = \frac{1}{M^2 \alpha^2} \{m_z H_x - m_x H_z + \alpha m_y (M \cdot H) + H_y\}$$

- Визуализация в Python – библиотеки **matplotlib**, **seaborn**
- Численное решение задачи Коши – библиотека **SciPy**
- Моделирование переворота намагниченности в Φ_0 джозефсоновском переходе
- Ускорение вычислений – библиотека **Joblib**
библиотека **numba**



Инструментарий на Python для решения научных и прикладных задач

Создание функций

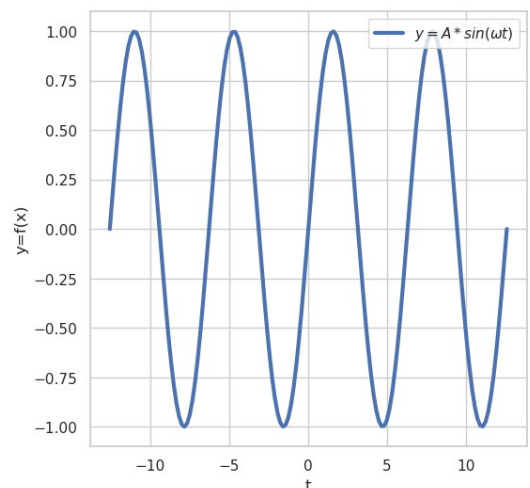
```
def f_sin(t, A, omega):  
    ''' Определяет значение функции A*sin(omega*t),  
        A, omega - параметры'''  
    return (A*np.sin(omega*t))
```

Библиотека *NumPy* добавляет поддержку больших многомерных массивов и матриц, вместе с большой библиотекой высокоуровневых математических функций.

```
import numpy as np # подключение библиотеки  
a = np.array([1, 2, 3]) # создание одномерного массива  
x = np.arange(0, 30, 2) # создание одномерного массива с числами от 0 до 30 с шагом 2  
x = np.linspace(0, 2*np.pi, 100, endpoint=True) # создание одномерного массива с числами от 0 до 2π с количеством точек 100
```

Построение графиков – библиотеки *matplotlib*, *seaborn*

```
# подключение библиотеки matplotlib  
import matplotlib.pyplot as plt  
%matplotlib inline  
  
# подключение библиотеки seaborn  
import seaborn as sns  
sns.set()  
sns.set(style="whitegrid")  
  
t = np.linspace(-4*np.pi, 4*np.pi, 150, endpoint=True)  
  
# размеры графика  
fig = plt.figure(figsize=(6, 6))  
# отрисовка графика по координатам x и y  
plt.plot(t, f_sin(t, A, omega),  
label='$y=A*\sin(\omega t)$', linewidth=3.0)  
plt.xlabel('x', size=12) # подпись оси x  
plt.ylabel('y', size=12) # подпись оси y  
plt.legend(loc='upper right') # добавление легенды  
plt.show() # отображение графика
```



Интерактивное управление в *Jupyter Notebook* – библиотека *ipywidgets*

```
# подключение библиотеки ipywidgets  
import ipywidgets as widgets  
from ipywidgets import interact, interact_manual, Label  
%matplotlib widget
```

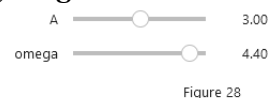
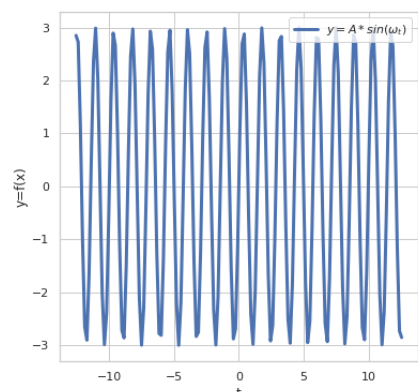


Figure 28

```
@interact  
def show_sin(A=(1.0, 5.0, 1.0), omega=(0.1, 5.0, 0.1)):  
    t = np.linspace(-4*np.pi, 4*np.pi, 150, endpoint=True)  
    fig = plt.figure(figsize=(6, 6))  
    plt.plot(t, f_sin(t, A, omega),  
             label='$y=A*\sin(\omega t)$', linewidth=3.0)  
    plt.xlabel('t')  
    plt.ylabel('y=f(x)')  
    plt.legend(loc='upper right')  
    plt.show()
```



Численное решение задачи Коши: библиотека SciPy

Пример 1. Численно решить задачу Коши

$$\begin{cases} dy/dt = y \cos(t), \\ y(0) = y_0, \end{cases}$$

имеющее аналитическое решение

$$y_{exact} = y_0 e^{\sin(t)}.$$

• Определяем правую часть уравнения

```
def F_right(t, y):  
    ''' Определяет правую часть ДУ,  
        примера 1'''  
    return y*np.cos(t)
```

• Определяем параметры численного счета

```
t0 = 0  
tf = 10  
nt = 1000  
# Массив точек, в которых будет находится решение  
t_e = np.linspace(t0, tf, nt)  
# Начальное условие  
y0 = np.array([3])
```

• Функция библиотеки SciPy для решения начальной задачи

```
sol_1 = solve_ivp(F_right, [t0, tf], y0, t_eval=t_e, method='RK45', rtol=1e-9, atol=1e-8)
```

F_right – правая часть дифференциального уравнения;

[t0, tf] – отрезок интегрирования;

y0 – начальное условие;

t_eval – точки сетки, в которых следует вычислить решение;

method – метод интегрирования;

rtol, atol – относительная и абсолютная погрешности.

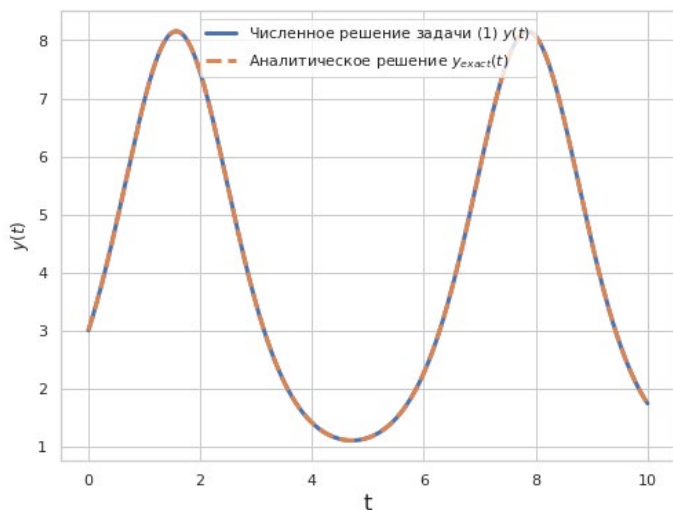


Рис. 1. График численного и аналитического решения

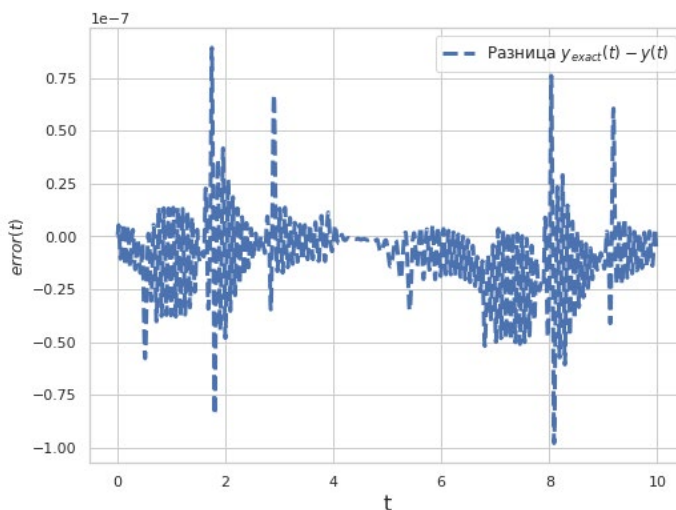


Рис. 2. Разница между аналитическим и численным решением

Пример 2. Численно решить задачу Коши

$$\begin{cases} dy/dt = y \cos(\omega t), \\ y(0) = y_0, \end{cases}$$

ω – параметр

имеющее аналитическое решение

$$y_{exact} = \begin{cases} y_0 e^{\frac{1}{\omega} \sin(\omega t)} & \text{при } \omega \neq 0, \\ y_0 e^t & \text{при } \omega = 0. \end{cases}$$

Отметим, что в модель входит параметр ω .

- Определяем правую часть уравнения


```
def F_right2(t, y, omega):
    ''' Определяет правую часть ДУ,
        примера 2,
        omega - параметр'''
    return y*np.cos(omega*t)
```

- Определяем параметры модели и численного счета


```
omega = np.pi/2
# Параметры численного счета
t0 = 0
tf = 10
nt = 1000
# Массив точек в которых будет находится решение
t_e = np.linspace(t0, tf, nt)
# Начальное условие
y0 = np.array([3])
```

- Для корректной передачи параметра в функцию SciPy воспользуемся функцией **partial** из модуля **functools**, которая *частично* применяет аргументы к вызываемой функции.


```
f = partial(F_right2, omega=omega)
t_e = np.linspace(t0, tf, nt)
sol_2 = solve_ivp(f, [t0, tf], y0, t_eval=t_e, method='RK45', rtol=1e-9, atol=1e-8)
```

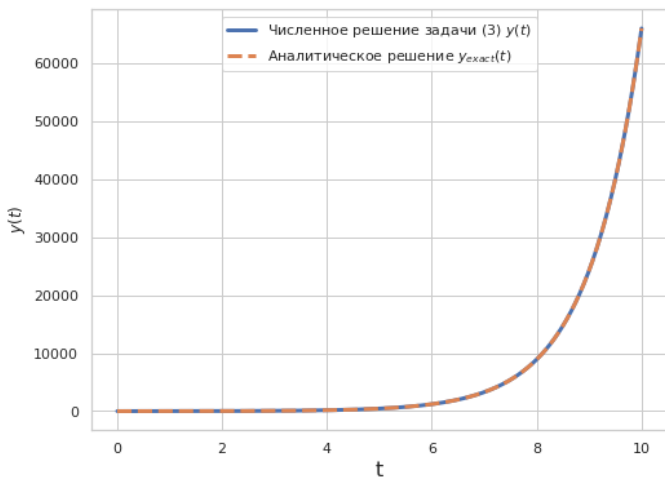


Рис. 3. График численного и аналитического решения примера 2 при $\omega = 0$

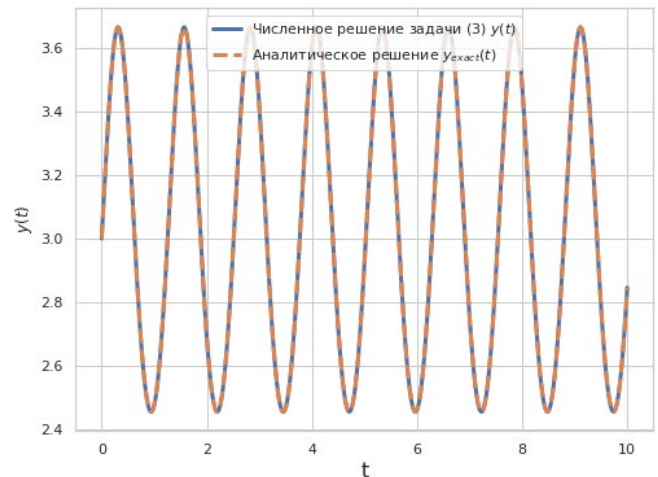


Рис. 4. График численного и аналитического решения примера 2 при $\omega = 5$

Моделирование переворота намагниченности в φ_0 джозефсоновском переходе

В качестве примера рассмотрим задачу о реализации переворота намагниченности в так называемом φ_0 джозефсоновском переходе под воздействием импульса тока и вычисления периодичности появления интервалов переворота намагниченности с изменением параметров модели.

Основные понятия

Джозефсоновский переход – это связь двух сверхпроводящих слоев посредством тонкого слоя несверхпроводящего барьера, в котором при пропускании электрического тока в зависимости от его величины наблюдается *стационарный* и *нестационарный эффект Джозефсона*.

Стационарный эффект Джозефсона. При пропускании тока I ниже критического значения I_c ($I < I_c$) в джозефсоновском переходе отсутствует напряжение ($V = 0$) и через переход течет сверхпроводящий ток I_s . Данный ток пропорционален синусу разности фаз φ параметров порядка (волновой функции или функции состояния) сверхпроводящих слоев

$$I_s = I_c \sin \varphi \quad (1)$$

Это выражение называется ток фазовое соотношение джозефсоновского перехода.

Нестационарный эффект Джозефсона. При увеличении тока I выше критического значения I_c ($I > I_c$) возникает переменное напряжение V в переходе, и оно пропорционально производной разности фаз по времени t

$$V = \frac{\hbar}{2e} \frac{d\varphi}{dt}, \quad (2)$$

где \hbar – постоянная Планка, e – заряд электрона.

φ_0 джозефсоновский переход. Если в качестве несверхпроводящего барьера использовать ферромагнитный слой со спинойорбитальным взаимодействием и с нарушением симметрии относительно обращения времени, то на токфазовом соотношении (сверхпроводящем токе) возникает фазовый сдвиг φ_0 .

$$I_s = I_c \sin(\varphi - \varphi_0), \quad (3)$$

где φ_0 зависит от намагниченности. Такой переход называется φ_0 джозефсоновским переходом.

Система уравнений

В φ_0 джозефсоновском переходе (Рис. 4) динамическими переменными являются разность фаз φ сверхпроводящих слоев и вектор намагниченности \mathbf{M} ферромагнитного слоя. Согласно резистивной модели, уравнение для разности фаз пишется как сумма сверхпроводящего и квазичастичного (одноэлектронного) токов через переход.

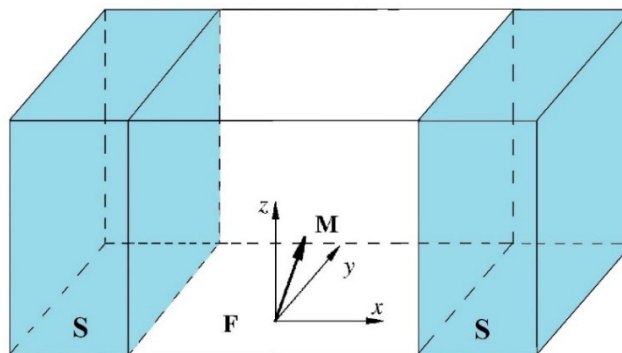


Рис. 5. Схематический вид φ_0 – джозефсоновского перехода; S и F – сверхпроводниковые и ферромагнитный слой, соответственно, \mathbf{M} – вектор намагниченности ферромагнитного слоя, легкая ось которого направлена вдоль оси z . Импульс внешнего тока направлен вдоль оси x .

$$I = \frac{\hbar}{2eR} \left(\frac{d\varphi}{dt} - \frac{d\varphi_0}{dt} \right) + I_c \sin(\varphi - \varphi_0), \quad (4)$$

где R – сопротивление джозефсоновского перехода.

Динамика вектора намагниченности описывается уравнением Ландау-Лифшица-Гильберта

$$\frac{d\mathbf{M}}{dt} = -\gamma [\mathbf{M} \times \mathbf{H}_{\text{eff}}] + \frac{\alpha}{M_0} \left[\mathbf{M} \times \frac{d\mathbf{M}}{dt} \right], \quad (5)$$

где γ – гиромагнитное отношение, α – гильбертовское затухание, M_0 – величина насыщения намагниченности или модуль вектора \mathbf{M} . Здесь \mathbf{H}_{eff} обозначает вектор эффективного магнитного поля, которое определяется выражением

$$\mathbf{H}_{\text{eff}} = \frac{K}{M_0} \left[Gr \sin \left(\varphi - r \frac{M_y}{M_0} \right) \mathbf{e}_y + \frac{M_z}{M_0} \mathbf{e}_z \right], \quad (6)$$

где G – отношение энергии Джозефсона к энергии магнитной анизотропии, r – параметр спин-орбитального взаимодействия, \mathbf{e}_y , \mathbf{e}_z – единичные вектора. Здесь учтено, что $\varphi_0 = r M_y / M_0$.

Разрешая уравнение (1) относительно $d\mathbf{M}/dt$ и учитывая уравнение для разности фаз (4), можно записать замкнутую систему уравнений

$$\begin{cases} \frac{d\mathbf{M}}{dt} = -\Omega_F \left[1 + \left(\alpha \frac{\mathbf{M}}{M_0} \right)^2 \right]^{-1} \left\{ \frac{M_0}{K} [\mathbf{M} \times \mathbf{H}_{\text{eff}}] + \frac{\alpha}{K} [\mathbf{M} (\mathbf{M} \mathbf{H}_{\text{eff}}) - \mathbf{H}_{\text{eff}} \mathbf{M}^2] \right\}, \\ \frac{d\varphi}{dt} = \frac{r}{M_0} \frac{dM_y}{dt} + \frac{2eR}{\hbar} \left[I - I_c \sin \left(\varphi - r \frac{M_y}{M_0} \right) \right], \end{cases} \quad (7)$$

учитывая, что $\mathbf{m} = \mathbf{M}/M_0$ (где $\mathbf{m}^2 = 1$), $\mathbf{h}_{\text{eff}} = M_0 \mathbf{H}_{\text{eff}}/K$, $\omega_F = \Omega_F/\omega_c$, где $\omega_c = (2eI_c R)/\hbar$ и, нормируя t на ω_c^{-1} , I на I_c получим систему уравнений в безразмерных величинах.

$$\begin{cases} \frac{d\mathbf{m}}{dt} = -\frac{\omega_F}{1+\alpha^2} \left([\mathbf{m} \times \mathbf{h}_{\text{eff}}] + \alpha [\mathbf{m} (\mathbf{m} \mathbf{h}_{\text{eff}}) - \mathbf{h}_{\text{eff}}] \right), \\ \frac{d\varphi}{dt} = r \frac{dm_y}{dt} + I - \sin(\varphi - rm_y), \end{cases} \quad (8)$$

где компоненты вектора \mathbf{h}_{eff} определяются выражениями $h_x = 0$, $h_y = rG \sin(\varphi - rm_y)$, $h_z = m_z$.

А в скалярном виде система уравнений записывается

$$\begin{cases} \frac{dm_x}{dt} = -\frac{\omega_F}{1+\alpha^2} \left\{ (m_y h_z - m_z h_y) + \alpha [m_x (m_x h_x + m_y h_y + m_z h_z) - h_x] \right\}, \\ \frac{dm_y}{dt} = -\frac{\omega_F}{1+\alpha^2} \left\{ (m_z h_x - m_x h_z) + \alpha [m_y (m_x h_x + m_y h_y + m_z h_z) - h_y] \right\}, \\ \frac{dm_z}{dt} = -\frac{\omega_F}{1+\alpha^2} \left\{ (m_x h_y - m_y h_x) + \alpha [m_z (m_x h_x + m_y h_y + m_z h_z) - h_z] \right\}, \\ \frac{d\varphi}{dt} = r \frac{dm_y}{dt} + I - \sin(\varphi - rm_y), \end{cases} \quad (9)$$

Начальное условие для этой системы задается в виде $m_x = 0$, $m_y = 0$, $m_z = 1$, $\varphi = 0$.

Внешний ток задается в виде прямоугольного импульса

$$I = I(t) = \begin{cases} A_s, & t \in [t_s - \Delta t / 2, t_s + \Delta t / 2], \\ 0, & \text{otherwise.} \end{cases} \quad (10)$$

где A_s – амплитуда и Δt продолжительность импульса тока, t_s – середина импульса.

Параметры модели: G – отношение энергии Джозефсона к энергии магнитной анизотропии; r – константа спин-орбитального взаимодействия; α – параметр диссипации Гильберта; ω_F – частота ферромагнитного резонанса.

Начальные условия предполагают, что все компоненты магнитного момента, кроме m_z , равны нулю:

$$IC: m_x(0) = 0, m_y(0) = 0, m_z(0) = 1, \phi(0) = 0.$$

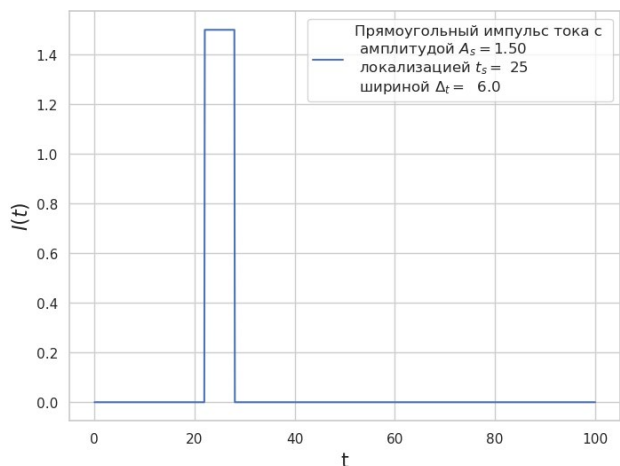


Рис. 6. Прямоугольный импульс тока

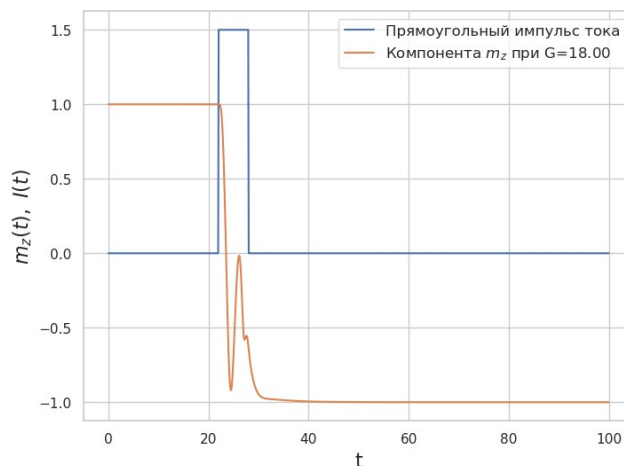


Рис. 7. Импульс тока и график, показывающий переворот компоненты m_z магнитного момента

Ускорение вычислений с использованием библиотеки Joblib

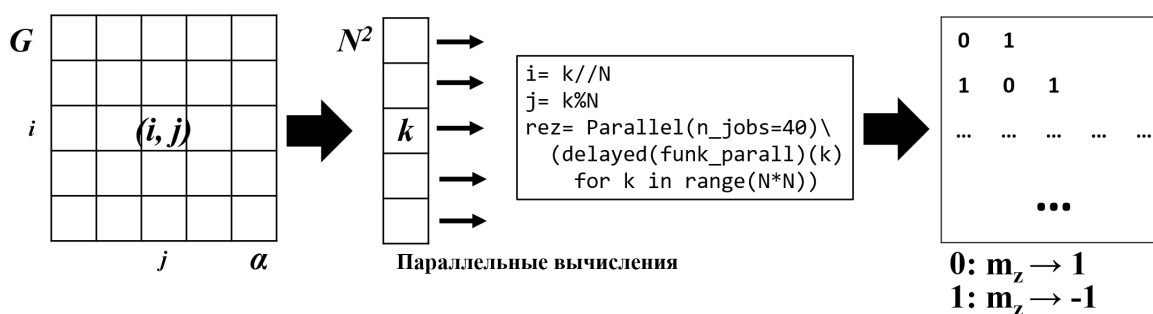


Рис. 8. Схема распараллеливания задачи с применением библиотеки Joblib

Для ускорений вычислений при моделировании переворота намагниченности в плоскости параметров (G, α) или (G, r) можно использовать библиотеку Joblib.

```
# подключение библиотеки Joblib
import joblib
from joblib import Parallel, delayed

# доступное количество CPU потоков
print(f"Number of CPU: {joblib.cpu_count()}")
Out: Number of CPU: 80

rez = Parallel(n_jobs=10)(delayed(funk_parall)(k) for k in range(N * N))
```

- **n_jobs** – используемое количество потоков. Так же мы можем передать значение **-1** для использования всех ядер или **-2** для использования всех ядер, кроме одного.
- Функция **delayed** используется для отсрочки выполнения кода. Она используется для того, чтобы библиотека сформировала список вызова функций, которые нужно выполнить параллельно. Этот список затем передается в функцию **Parallel**, которая занимается параллельным выполнением задач.
- **funk_parall** – функция, вычисления в которой необходимо ускорить;
- **k** – входной параметр функции, по которому будет выполняться распараллеливание.

Периодичность появления интервалов переворота намагниченности в ϕ_0 джозефсоновском переходе под воздействием импульса тока

Ресурсоемкие вычисления при исследовании периодичности интервалов переворотов:

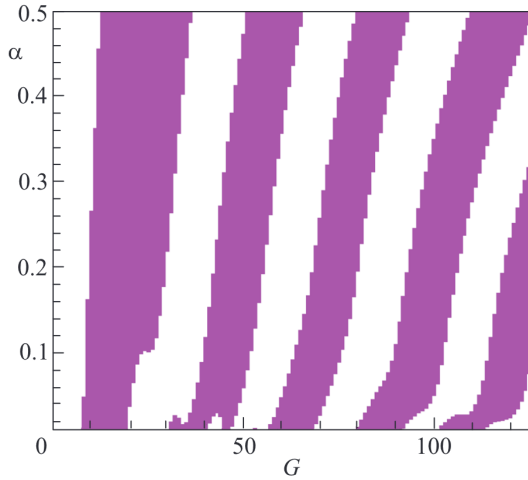


Рис. 9. Демонстрация периодичности интервалов переворота в плоскости (G, α) . Результаты получены с шагом $\Delta G = 1$ и $\Delta \alpha = 0.001$ при $A_s = 1.5$, $r = 0.1$, $t_0 = 25$, $\Delta t = 6$, $\omega_F = 1$

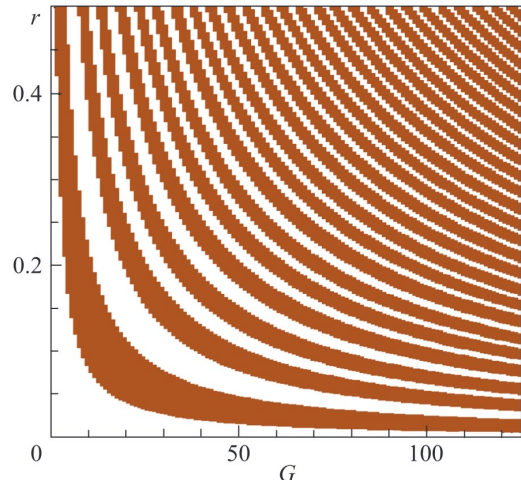


Рис. 10. Демонстрация периодичности интервалов переворота в плоскости (G, r) . Результаты получены с шагом $\Delta G = 1$ и $\Delta r = 0.001$ при $A_s = 1.5$, $\alpha = 0.1$, $t_0 = 25$, $\Delta t = 6$, $\omega_F = 1$

Ускорение вычислений с использованием библиотеки Numba

```
# подключение библиотеки Numba
import numba as nb


# подключение библиотеки numbalsoda
from numbalsoda import lsoda_sig, lsoda, dop853
from numba import njit, cfunc
```

- Библиотека **Numba** позволяет осуществлять JIT-компиляцию (Just-In-Time compilation, компиляция «точно в нужное время»). JIT-компиляция в процессе выполнения программы транслирует Python и NumPy код в быстрый машинный код.
- Декоратором `@njit` отмечается функция для оптимизации JIT-компилятором Numba.
- Декоратор `@njit(parallel=True)`. Добавление параметра `parallel=True` указывает на подключение автоматического распараллеливания и других оптимизаций для расчетов на CPU.

```
from numba import config, njit, threading_layer, set_num_threads, get_num_threads
# set the threading layer before any parallel target compilation
config.THREADING_LAYER = 'threadsafe'
```

```
@njit
def I_pulse(params):
    ...
    return out
```

```
@njit(parallel=True)
def comput_parallel(params):
    ...
    return out
```

SciPy `solve_ivp()`  numbalsoda `lsoda(funcptr, s0, t_e, rtol = 1e-8, atol = 1e-8, data = data)`



Ускорение с Joblib ~ 35 раз
Ускорение с Numba: `@njit + @njit(parallel=True)` ~ 300 раз